



UNIVERSIDADE D  
**COIMBRA**

MESTRADO EM ENGENHARIA E DE COMPUTADORES

## **Relatório de Visão por Computador**

Geometric Camera Calibration

**Duarte de Sousa Cruz, 2017264087**

# 1 Introdução

Neste trabalho vamos calibrar uma câmara. Usando o método geométrico de calibração para calcular os parâmetros da câmara e estimar os coeficientes de distorção das lentes. Para isto vamos usar três métodos diferentes.

- Direct Linear Transform algorithm (DLT)
- Gold Standard algorithm
- Gold Standard algorithm with radial distortion estimation

## 2 Pontos

Como primeiro passo correspondemos os pontos da imagem (x,y) a pontos (x,y,z). Tivemos que escolher pelo menos 6 pontos e armazenar em dois ficheiros de dados, para não ter que repetir este processo sempre que iniciávamos o programa.

## 3 Data normalization

A normalização da data é essencial para estes algoritmos e vai ser a base para todas as implementações deste projeto. Para isto temos que aplicar uma matriz transformação para os pontos 2D da imagem (T) e para os pontos 3D (U):

$$T = \begin{bmatrix} s_2 D & 0 & C_x \\ 0 & s_2 D & C_y \\ 0 & 0 & 1 \end{bmatrix} \quad (1)$$

$$U = \begin{bmatrix} s_3 D & 0 & 0 & C_x \\ 0 & s_3 D & 0 & C_y \\ 0 & 0 & s_3 D & C_z \\ 0 & 0 & 0 & 1 \end{bmatrix} \quad (2)$$

que consiste numa translação e num escalonamento para que a centroide dos novos pontos seja em  $(0,0)^T$  e a sua distância média para a origem seja  $\sqrt{2}$  para os pontos da imagem e  $\sqrt{3}$  para os pontos 3D.

As equações para  $s$ ,  $C_x$  e  $C_y$  são:

$$C_x = -s\bar{x} \quad (3)$$

$$C_y = -s\bar{y} \quad (4)$$

$$s = \frac{\sqrt{2}}{\frac{1}{n} \sum_i \sqrt{(x_i - \bar{x})^2 + (y_i - \bar{y})^2}} \quad (5)$$

sendo  $\bar{x}$  e  $\bar{y}$  os seus valores médios.

## 4 Direct Linear Transform

Este algoritmo serve para estimar a matriz da câmara dando os pontos correspondentes. O objetivo é minimizar o erro algébrico do sistema linear do modelo da câmara.

Em primeiro lugar, começamos por normalizar os dados dos pontos xy e XYZ. Depois criamos a matriz A para todos os pontos n, que resulta em uma matriz 2nX12 onde A.M=0.

$$\begin{bmatrix} w_i P_i^T & 0^T & -x_i P_i^T \\ 0^T & w_i P_i^T & -y_i P_i^T \end{bmatrix} \begin{bmatrix} M^1 \\ M^2 \\ M^3 \end{bmatrix} = 0 \quad (6)$$

A solução para o M é o vetor nulo de A que pode ser obtido pela decomposição SVD. A matriz P vai corresponder à última coluna de V, que vem da decomposição.

```

1  A = [];
2
3  for i=1:size(xy,2)
4      A = [A; XYZ(:,i)' zeros(1,4) -xy(1,i).*(XYZ(:,i))'];
5          zeros(1,4) XYZ(:,i)' -xy(2,i).*(XYZ(:,i))'];
6  end
7
8  [U, S, V] = svd(A);
9
10 P = V(:,end)/V(end, end);
11 P = reshape(P, 4, 3)';

```

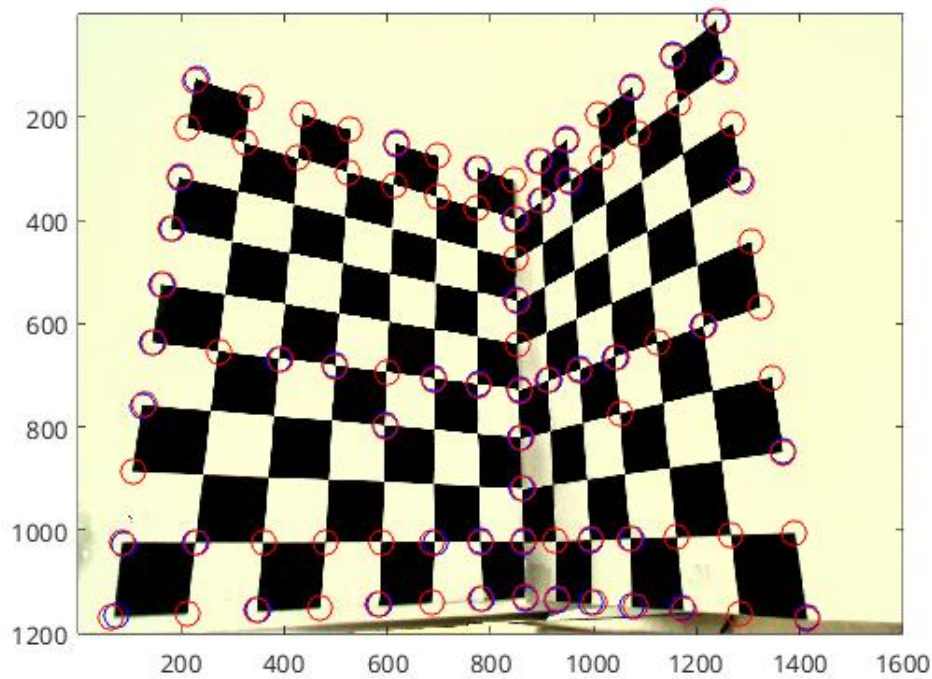


Figure 1: Projeção dos pontos após DLT

## 5 Camera Matriz Decomposition

Nesta parte da nossa implementação vamos decompor a matriz  $P$  em 3 matrizes,  $K$ ,  $R$  e  $C$ . Vamos implementar duas decomposições, a decomposição QR e a explícita. Apesar de as composições serem diferentes os resultados devem ser iguais.

### 5.1 QR-Factorization

A decomposição QR é a decomposição da matriz  $A$  no produto  $A = QR$ , sendo  $Q$  a matriz ortogonal e  $R$  a matriz upper triangular. O inverso da matriz  $R$  vai corresponder à matriz  $K$  e o inverso da matriz  $Q$  vai corresponder à matriz  $R$ .

Para obtermos o centro da câmara  $C$  é o ponto onde  $PC = 0$ , o que significa que conseguimos obter  $C$  se fizermos decomposição em valores singulares da matriz  $P$ .  $C$  vai corresponder à última coluna da matriz  $V$ , que vem da decomposição SVD.

```

1  [U, S, V] = svd(P);
2  C = V(:,end)/V(end, end);
3

```

```

4  [Q, R] = qr(inv(P(1:3,1:3)));
5
6  K = inv(R);
7  R = inv(Q);
8
9  D=diag(sign(diag(K)));
10 K=K*D;
11 R=D*R;
12
13 K=K/K(end,end);

```

## 5.2 EXPLICIT Decomposition

Após estimada a matriz M, o próximo passo vai ser retirar os parâmetros extrínsecos e intrínsecos desta.

$$M = \begin{bmatrix} \alpha r_1^T - \alpha \cot \theta r_2^T + u_0 r_3^T & \alpha t_x - \alpha \cot \theta t_y + u_0 t_z \\ \frac{\beta}{\sin \theta} r_2^T + v_0 r_3^T & \frac{\beta}{\sin \theta} t_y + v_0 t_z \\ r_3^T & t_z \end{bmatrix}$$

$$A = \begin{bmatrix} a_1^T \\ a_2^T \\ a_3^T \end{bmatrix} \quad b = \begin{bmatrix} b_1 \\ b_2 \\ b_3 \end{bmatrix} \quad (7)$$

e sabendo que:

$$M \begin{bmatrix} C \\ 0 \end{bmatrix} = 0 \quad (8)$$

Em particular, se  $M = [A \ b]$  então,  $C = -A^{-1}b$ .

Vamos agora calcular os parâmetros intrínsecos com as fórmulas dadas no formulário.

$$\rho = \frac{1}{|a_3|} \quad (9)$$

$$u_0 = \rho^2(a_1 \cdot a_2) \quad (10)$$

$$v_0 = \rho^2(a_2 \cdot a_3) \quad (11)$$

$$\cos \theta = \frac{(a_1 \cdot a_2) \cdot (a_2 \cdot a_3)}{|a_1 \cdot a_3| \cdot |a_2 \cdot a_3|} \quad (12)$$

$$\alpha = \rho^2 |a_1 \cdot a_3| \sin \theta \quad (13)$$

$$\beta = \rho^2 |a_2 \cdot a_3| \sin \theta \quad (14)$$

```

1  rho = epsilon/norm(A(3,:));
2
3  cos_t = dot(cross(A(1,:),A(3,:)),cross(A(2,:),A(3,:))) / dot(norm(cross(A(1,:),A(3,:))),\|
4  norm(cross(A(2,:),A(3,:))));
5  sin_t = sqrt(1-cos_t^2);
6
7  alpha = rho.^2 * norm(cross(A(1,:),A(3,:))) * sin_t;
8  beta = rho.^2 * norm(cross(A(2,:),A(3,:))) * sin_t;
9
10 u0 = rho^2*dot(A(1,:),A(3,:));
11 v0 = rho^2*dot(A(2,:),A(3,:));

```

Após estes calculos,vamos calcular os parâmetros extrínsecos,

$$r_1 = \frac{(a_1 * a_3)}{|a_2 * a_3|} \quad (15)$$

$$r_3 = \frac{a_3}{|a_3|} \quad (16)$$

$$r_2 = r_3 * r_1 \quad (17)$$

```

1 r1 = (1/norm(cross(A(2,:),A(3,:))))*cross(A(2,:),A(3,:));
2 r3 = rho*A(3,:);
3 r2 = cross(r3,r1);

```

Sabendo todos os parâmetros podemos finalmente calcular as matrizes K, R e t.

$$K = \begin{bmatrix} \alpha & -\alpha \cot \theta & u_0 \\ 0 & \frac{\beta}{\sin \theta} & v_0 \\ 0 & 0 & 1 \end{bmatrix} \quad (18)$$

$$R = \begin{bmatrix} r_1 \\ r_2 \\ r_3 \end{bmatrix} \quad (19)$$

$$t = \rho K^{-1} b \quad (20)$$

## 6 Gold Standard Algorithm

Este algoritmo minimiza o erro geométrico  $\sum_i d(p_i, \bar{p}_i)^2$ , onde  $p_i$  são os pontos da imagem e  $\bar{p}_i$  são os pontos objeto projetados.  $d(p_i, \bar{p}_i)^2$  é a euclidean distance entre  $p_i$  e  $\bar{p}_i$ .

Primeiro vamos normalizar os pontos e correr o algoritmo DLT para ter a matriz P inicial para a otimização. Depois vamos usar o fminsearch para calcular o minimo da soma dos erros de reprojeção entre os pontos clicados no início da implementação e os pontos projetados pela matriz P. Os pontos projetados pela matriz P são dados por:

$$\bar{p}_i = PP_i \quad (21)$$

sendo  $P_i$  os pontos 3D escolhidos na primeira fase da calibração.

```

1 P = [p(1:4);p(5:8);p(9:12)];
2
3 for i = 1:size(XYZ,2)
4     xy2(i,:)=P*[XYZ(:,i)];
5 end
6
7 for j =1:size(xy2,1)
8     xy2(j,1)=xy2(j,1)/xy2(j,3);
9     xy2(j,2)=xy2(j,2)/xy2(j,3);
10 end
11
12 for x =1:size(XYZ,2)
13     d=sqrt((xy(1,x)-xy2(x,1)).^2+((xy(2,x)-xy2(x,2)).^2));
14 end
15
16 soma = sum(d);
17 f = soma;

```

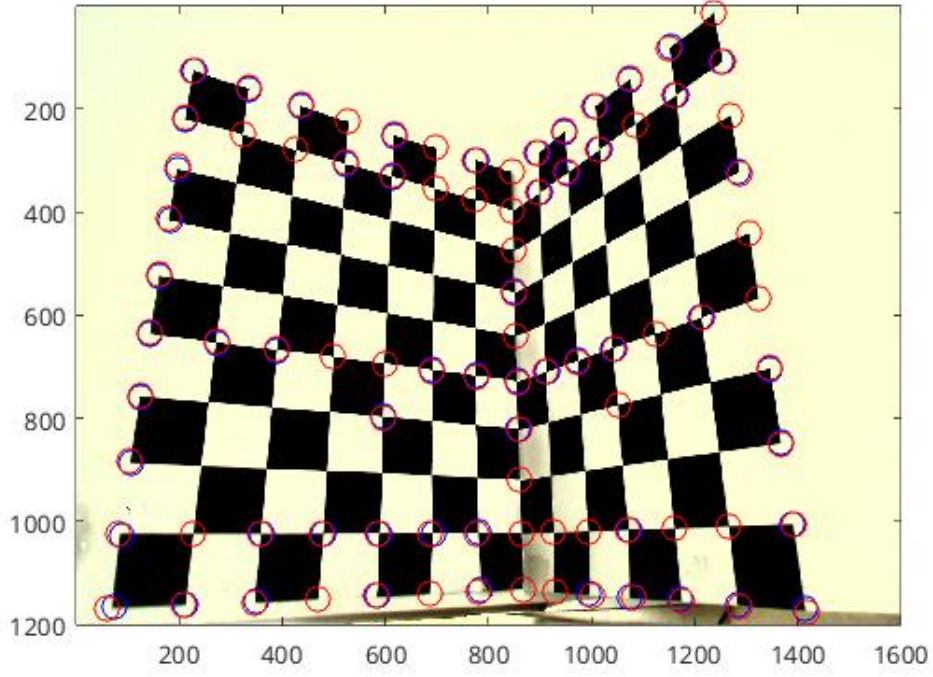


Figure 2: Projeção dos pontos após Gold Standard Algorithm

## 7 Gold Standard algorithm with radial distortion estimation

Durante a otimização do  $P$  os coeficientes de distorção radial das lentes também podem ser estimados.

O modelo de distorção radial é dado por:

$$\begin{bmatrix} x_d \\ y_d \end{bmatrix} = L(\tilde{r}) \begin{bmatrix} \tilde{x} \\ \tilde{y} \end{bmatrix} \quad (22)$$

onde  $(\tilde{x}, \tilde{y})$  é a projeção linear ideal do ponto 3D  $P$

$$\begin{bmatrix} x \\ y \\ z \end{bmatrix} = [R | -RC] P \quad (23)$$

$$\tilde{x} = \frac{x}{z} \tilde{y} = \frac{y}{z} \quad (24)$$

Para calcular o  $L(\tilde{r})$ , temos que primeiro obter o  $\tilde{r}$  que é a distância radial do ponto  $(\tilde{x}, \tilde{y})$  para o ponto principal da imagem  $(p_x, p_y)$ .

$$\tilde{r} = \sqrt{\tilde{x}^2 + \tilde{y}^2} \quad (25)$$

Após isto só falta aplicar a expansão de Taylor,

$$L(\tilde{r}) = 1 + k_1 r^2 + k_2 r^4 \quad (26)$$

sendo  $k_1, k_2$  os coeficientes de distorção radial, que vão ser estimados na função `fminsearch`.

Como a imagem usada tem pouca distorção é normal os coeficientes de distorção radial serem pequenos. Os valores que obtemos na nossa implementação são  $k_1 = 3.8 * 10^{-4}$  e  $k_2 = 4.0 * 10^{-4}$

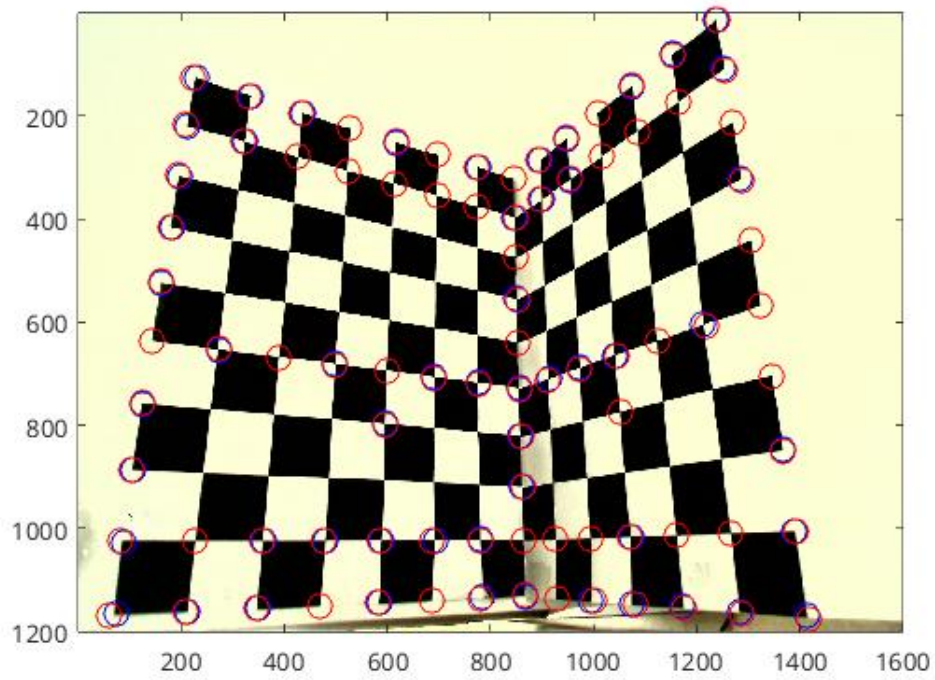


Figure 3: Projeção dos pontos após Gold Standard com estimação da distorção radial

Na imagem abaixo, vemos uma distorção radial admissível.

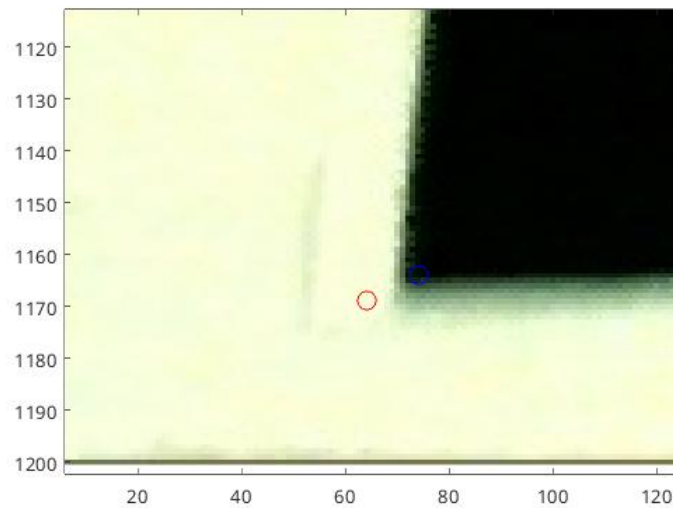


Figure 4: Projeção dos pontos após Gold Standard com estimação da distorção radial

## 8 Resultados e Observações

Os resultados correram dentro do esperado e conseguimos implementar todas as funções sem contar com a função extra. Conseguimos obter erros dentro dos limites admissíveis.

Observamos que os erros de reprojeção nos algoritmos Gold Standard sem e com estimação de distorção radial foram respectivamente 2.63 2.20. Concluindo que os erros foram bem respeitáveis.